

III-43 地盤内応力波伝播問題の粘弾性学的アプローチ(Ⅱ)

京都大学工学部 正員 赤井 浩一
京都大学大学院 学生員 ○堀 正幸

1. まえがき 一般に土はエネルギー減衰特性を持っていることが知られており、一次元応力波伝播時においても、この特性を明瞭に観察することができる。応力波伝播過程中における応力の減衰や波形のくずれを土の持つエネルギー減衰特性的1つの指標と考えて、線形粘弾性モデルを仮定することによりその現象をある程度説明し得ることを前報で報告した。特に三要素線形粘弾性モデル (two-spring, 1-dashpot) を仮定すれば、上記の現象と同時に有限の波速をも説明でき、この種の問題を理論的に取り扱う場合、土のモデルとして適していることが推測された。前報では重ね合わせ法を使って、その数値結果を報告したが今回はラプラス変換法により、一次元応力波伝播による応力分布の厳密解を得て数値計算と共に実験値との比較考察を試みた。

2. 理論解の説算 Fig.1 に示すspring-Voigt モデルからなる断面積一定の半無限ロッドを考へ、Fig.2 のようにその一端から入射応力が与えられるものとする。また、応力波は完全に一次元的に伝播するものとする。その場合の運動方程式は次式で与えられる。

$$\rho u_{tt} = -\sigma_x \quad (1)$$

ここに、 ρ は密度、 u は変位であり、添字 t 、 x はそれと共に時間と位置に関する偏微分を表わす。変位とひずみの関係は次式とする。

$$\epsilon = -u_x \quad (2)$$

spring-Voigt モデルの構成方程式は次式で与えられる。

$$E\epsilon + 1/\mu \cdot \sigma_t = \sigma_t (1+k) + \sigma_t / E' \mu \quad (3)$$

ここに、 $k = E/E'$ である。便利のために式(4)の無次元化変数を用いれば、式(1), (2), (3)より式(5)の基礎微分方程式を得る。

$$\ddot{\zeta} = (\rho E)^{1/2} \mu x, \quad \tau = E u t, \quad \Sigma' = \sigma(x, t) / \sigma_0 \quad (4)$$

ここで、 σ_0 は表面で与えられる最大圧力である。

$$\Sigma'_{xx} + \Sigma'_{xxt} = (1+k) \Sigma'_{xx} + k \Sigma'_{xxt} \quad (5)$$

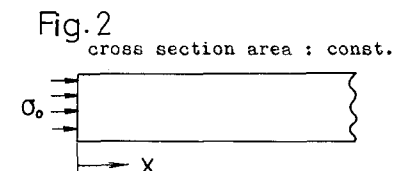
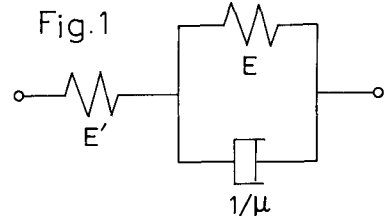
ロッドの一端において瞬時に立ち上がり、指數的に減衰するいわゆるスパイク型の波形を持つ応力を境界条件として与えれば、それは次式のよう表現することができる。

$$\Sigma'(0, \tau) = \exp(-\beta \tau), \quad \Sigma'(\infty, \tau) = 0 \quad (6)$$

ラプラス変換式は

$$\mathcal{L}\{f(\zeta, \tau)\} = \int_0^\infty e^{-s\tau} f(\zeta, \tau) d\tau \quad (7)$$

式(6), (6)を式(6)によりラプラス変換し、得られる常微分方程式を境界条件のもとで解けば変換場での解は次式で与えられる。



$$\angle \left\{ \sum'(\bar{z}, \tau) \right\} = \frac{1}{s+\beta} \exp \left\{ -\frac{s\sqrt{ks+k+1}}{\sqrt{s+1}} \bar{z} \right\} \quad (8)$$

式(8)の逆変換の解は次式となる。

$$\sum'(\bar{z}, \tau) = \frac{1}{2\pi i} \int_{\gamma-i\infty}^{\gamma+i\infty} \frac{1}{s+\beta} e^{s\tau} \exp \left\{ -\frac{s\sqrt{ks+k+1}}{\sqrt{s+1}} \bar{z} \right\} ds \quad (9)$$

上式の積分は $s = -\beta$ を simple pole を持つ、 $s = -1, -(k+1)/k$ を branch point を持つ。また、この積分を評価するため Fig. 3 に示されるコンター C 沿って積分を行なう。ここで次式の積分を定義する。

$$I = \int_{-\infty}^{\infty} \frac{1}{s+\beta} e^{s\tau} \exp \left\{ -\frac{s\sqrt{ks+k+1}}{\sqrt{s+1}} \bar{z} \right\} ds \quad (10)$$

a. $\beta > (k+1)/k$ の場合 simple pole $s = -\beta$ はコンターの外側にあり、故に Cauchy の定理により

$$\phi = I_{AB} + I_{BC} + I_{CD} + I_{DA} = 0 \quad (11)$$

一方、 $\tau - \sqrt{k}\bar{z} > 0$ のとき Jordan の補助定理により弧 BC, DA の半径が無限大に近づくにつれて、それくねる積分はゼロとなる。すなわち $(I_{BC} + I_{DA}) = 0$ 。したがって、式(11)より

$$I_{AB} = -I_{CD} \quad (12)$$

(I) simple pole を囲む積分: I_p

$$I_p = -2\pi i e^{-\beta\tau} \exp \left\{ \frac{\beta\sqrt{k}\beta-k-1}{\sqrt{\beta-1}} \bar{z} \right\} \quad (13)$$

(II) C_1 と C_4 に沿う積分: $(I_{C_1} + I_{C_4})$ は次式の関数を定義すれば

$$\{g(s)\}^2 = \frac{s^2(ks+k+1)}{s+1} \quad (14)$$

Fig. 4 通り分かる通りコンター C_1 と C_4 に沿って $\{g(s)\}^2$ は一価関数となり、故に

$$I_{C_1} + I_{C_4} = 0 \quad (15)$$

(III) 円内 γ に沿う積分: I_{γ} ,

$$I_{\gamma} = \lim_{\omega \rightarrow 0} \int_{-\pi}^{\pi} \exp \left(-\frac{k+1}{k} \tau \right) \exp \left\{ \frac{k+1}{k} \frac{\sqrt{k}\omega e^{i\theta}}{\sqrt{1-\frac{k+1}{k}}} \bar{z} \right\} \frac{\omega i e^{i\theta}}{\beta - \frac{k+1}{k}} d\theta = 0 \quad (16)$$

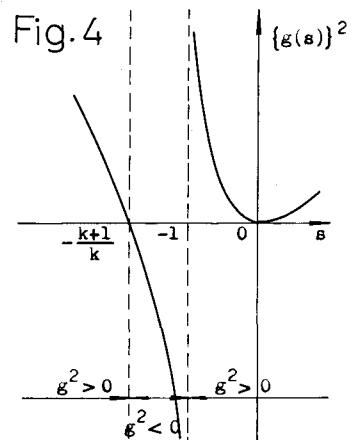
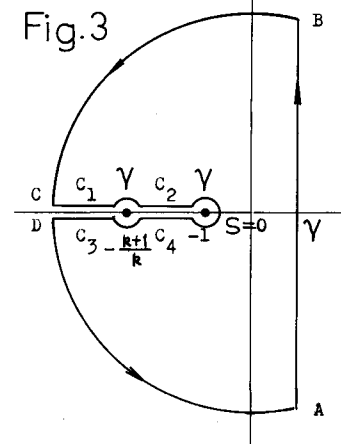
(IV) 円外 γ に沿う積分: I_{γ} ,

$$I_{\gamma} = \lim_{\omega \rightarrow 0} [1 + \theta(\omega)] \int_{-\pi}^{\pi} e^{-\tau} \exp \left\{ \frac{1}{\sqrt{\omega} e^{\pm i\theta}} \right\} \frac{\omega i e^{i\theta}}{\beta - 1} d\theta = \frac{2\pi i}{\beta - 1} \bar{z}^2 e^{-\tau} \quad (17)$$

(V) C_2 と C_3 に沿う積分: $I_{C_2} + I_{C_3}$

$$I_{C_2} + I_{C_3} = 2 \int_0^{\frac{k}{\beta}} \frac{1}{s+1-\beta} e^{-(s+1)\tau} \sin \left\{ \frac{(s+1)\sqrt{1-k}s}{\sqrt{s}} \bar{z} \right\} ds \quad (18)$$

最終的に、式(9), (12), (13), (15), (16), (17), (18) より次の解を得る。



$$\begin{aligned}\Sigma'(\xi, \tau) = & e^{-\beta \tau} \exp \left\{ \frac{\beta \sqrt{\beta - k - 1}}{\sqrt{\beta - 1}} \xi \right\} - \frac{1}{\beta - 1} \xi^2 e^{-\tau} \\ & - \frac{1}{\pi} \int_0^{\frac{1}{k}} \frac{1}{g+1-\beta} e^{-(g+1)\tau} \sin \left\{ \frac{(g+1)\sqrt{1-kg}}{\sqrt{g}} \xi \right\} dg \quad (19)\end{aligned}$$

b. $(k+1)/k \geq \beta \geq 1$ の場合 a. の場合と同様の解法により次の解を得る。

$$\begin{aligned}\Sigma'(\xi, \tau) = & e^{-\beta \tau} \cos \left\{ \frac{\beta \sqrt{k+1-k\beta}}{\sqrt{\beta-1}} \xi \right\} - \frac{1}{\beta-1} \xi^2 e^{-\tau} \\ & - \frac{1}{\pi} \int_0^{\frac{1}{k}} \frac{1}{g+1-\beta} e^{-(g+1)\tau} \sin \left\{ \frac{(g+1)\sqrt{1-kg}}{\sqrt{g}} \xi \right\} dg \quad (20)\end{aligned}$$

c. $\beta = 1$ の場合

$$\Sigma'(\xi, \tau) = 1 - \frac{1}{\pi} \int_0^{\frac{1}{k}} \frac{1}{g} e^{-(g+1)\tau} \sin \left\{ \frac{(g+1)\sqrt{1-kg}}{\sqrt{g}} \xi \right\} dg \quad (21)$$

d. $0 \leq \beta < 1$ の場合

$$\Sigma'(\xi, \tau) = 1 - \frac{1}{\beta-1} \xi^2 e^{-\tau} - \frac{1}{\pi} \int_0^{\frac{1}{k}} \frac{1}{g+1-\beta} e^{-(g+1)\tau} \sin \left\{ \frac{(g+1)\sqrt{1-kg}}{\sqrt{g}} \xi \right\} dg \quad (22)$$

なお、 $\tau - \sqrt{k}\xi < 0$ の場合は特異点を含まず、式(19)の積分は常にゼロとなる。すなはち、この領域では波動がまだ到達していない領域を意味する。したがって、 $\tau - \sqrt{k}\xi = 0$ は、波のフロントを表現するものであり、これより以下に示すような変数変換によってこのモデルからなるロッド内を伝わる波動の波速を計算することができる。

$$\begin{aligned}C = \sqrt{k} \xi \quad i.e. \quad E \mu t = \sqrt{E/E'} (\rho E)^{\frac{1}{2}} \mu x \\ \therefore x/t = \sqrt{E/E'} \quad (23)\end{aligned}$$

3. 計算結果 粘弹性定数のヤング率の比 β の値を $0.5 \sim 4.0$ にとり、表面圧力の波形を表現するパラメータ k を $3.0, 4.0, 5.0$ として上記の解を用いて数値計算を行なった。これらの値は Shock Tube を用いた応力波伝播実験より推測されたものである。計算結果は以下距離に対する

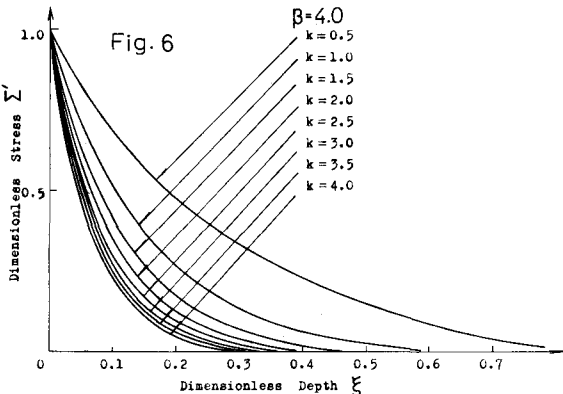


Fig. 6

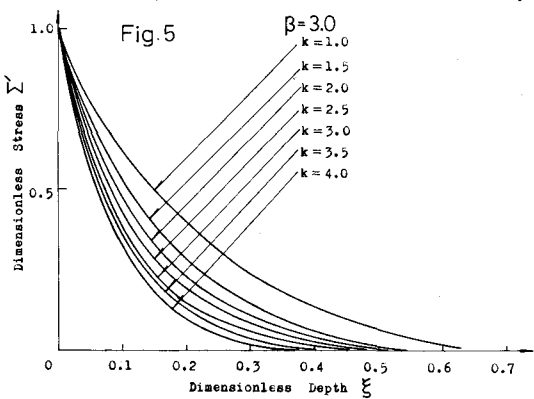


Fig. 5

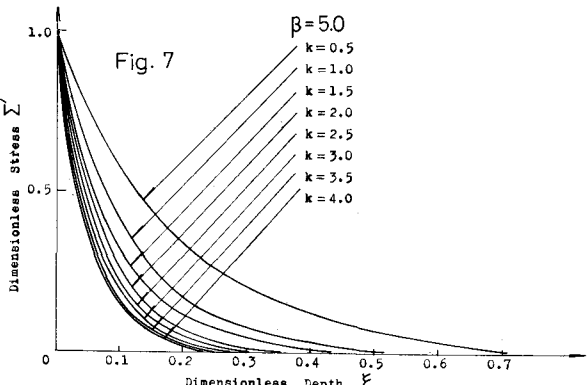


Fig. 7

応力の減衰に注目してFig. 5, 6, 7に示されるように横軸に無次元化距離、縦軸に無次元化応力をとって整理されている。なお、すべての計算結果を通じて各深さにおける波形の立ち上がり時間の変化ではなく、このことは実験結果においても波形のくずれは比較的少ないこととよく対応している。これらの図から β が大きくなるにつれて、また同じ β の値でもパラメータ k が大きくなるにつれて無次元化距離 γ と共に減衰が大きくなることがわかる。すなわち、 β が大きくなるということは、spring-Voigtモデルのfree springに対してもVoigtモデル内のspringのヤング率が大きくなることを意味しており、Voigt的挙動が優勢になるとすると考えることによって上記の計算結果を理解することができる。

4. 実験結果との比較考察 モデルの粘弹性定数を決定することは一般に難かしく土の物性には勿論のこと実験条件によつても変化することが知られている。ここでは γ で述べたように波動はspring-Voigtモデルがうねる媒質中を $\sqrt{E/\rho}$ の波速で伝播するといふことから実験で得られた応力波の波速を用いて E を決定し、残りの2つの定数 E と μ については“あてはめ法”によつて。実験はみかけ密度1.7, 1.8, 1.9 g/cm³の砂質ロームについて行われ、得られて応力波の波速はそれぞれ、186, 234, 294 m/sec(平均)である。それより、 E としてそれぞれ 6.0×10^2 , 1.0×10^3 , 1.5×10^3 kN/cm²の値が用いられて。表面圧力の波形を $\exp(-140t)$ (t: sec)として上記の値を使って実験値と計算結果を応力の減衰に注目して整理したのがFig. 8, 9, 10である。これらの中より、計算結果は実験値の応力減衰性をよく説明していることが分かる。特にパラメータ k として0.5～1.0を用いれば土中の一次元応力波伝播時に生じる土の減衰特性を表現することができる。粘弹性定数 E と μ については応力減衰に関する限り、個々の値ではなくそれらの積に依存していることもつけ加えて理解されよう。

1) 赤井, 岩, 安藤, 須上 "Shock-Tube を用いた土中の波動伝播実験"(別項)

